



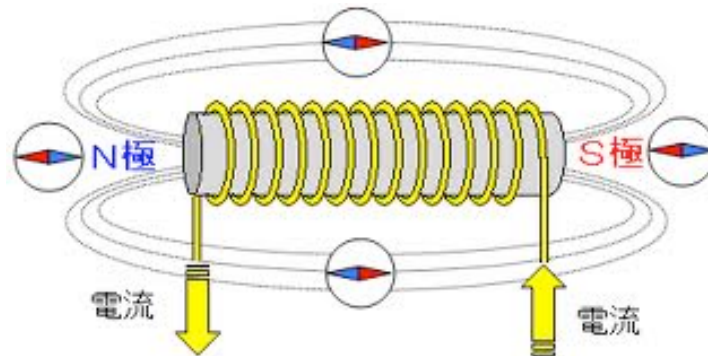
平成25年3月22日
岡山大学定例記者発表

鉄系超伝導材料： レアアースの使用量、大幅削減に成功

鉄系超伝導基本物質の臨界温度で世界記録更新

岡山大学大学院自然科学研究科
野原 実

超伝導：電気抵抗ゼロ、無損失で大量の電流が流せる

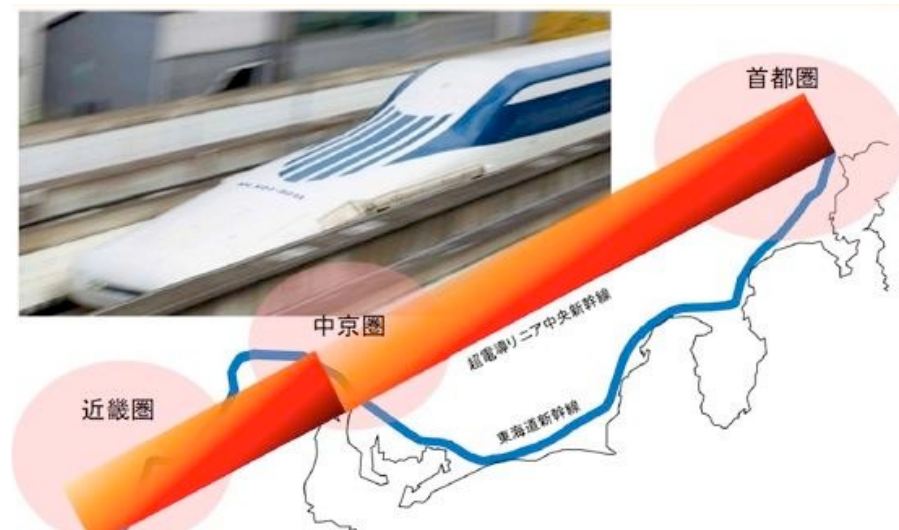


強力な磁力の超伝導電磁石が作れる

医療用 MRI（磁気共鳴画像装置）



JR東海 超伝導リニア



従来材料（ニオブ・チタン合金など）

高価な液体ヘリウムでセ氏零下269度へ冷却する必要あり

ヘリウム：輸入量が大幅に減少



天然ガスより産出

生産国の大半はアメリカが占めており、
大きな影響力を保持しています。

岩谷産業株式会社 HP より

日本 全量輸入

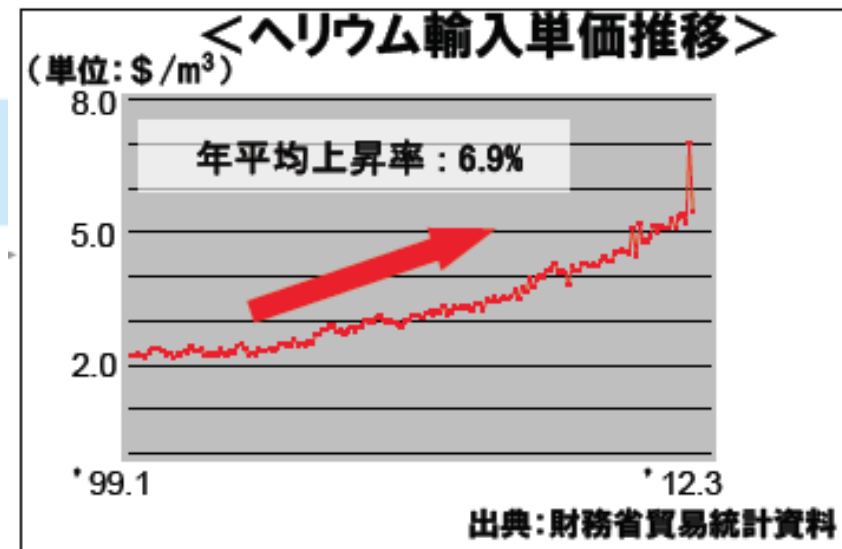
米国より 95%

米国施設の修理長期化などで高騰

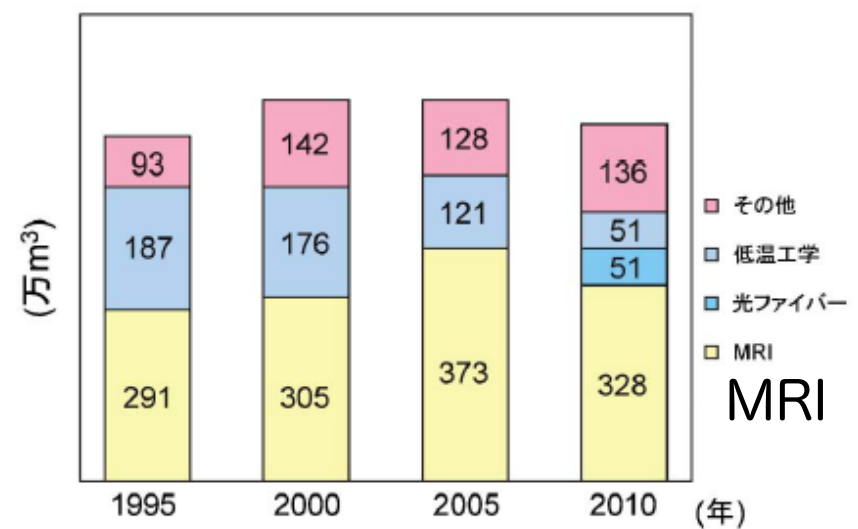
ヘリウム風船が無くなったり

今後、エネルギー資源が天然ガス
からシェールガス、深海のメタンハ
イドレートへ移行

ヘリウム産出量 さらに減少

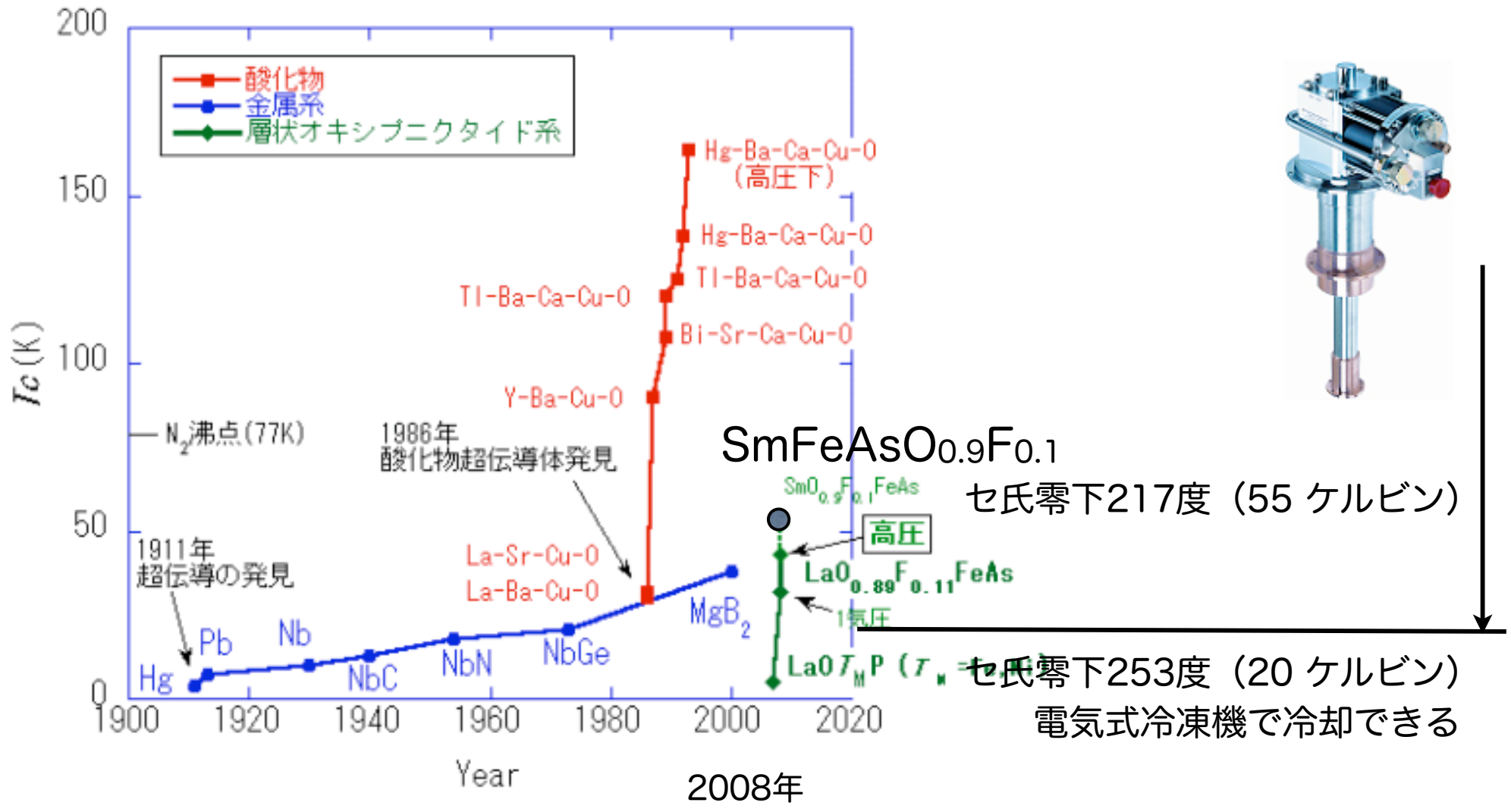


液体ヘリウムの用途別販売量



液体ヘリウムを用いない超伝導材料の実用化が急務

鉄系超伝導物質：ヘリウム不要



SmFeAsO_{0.9}F_{0.1}
サマリウム

レアアース (希土類元素) サマリウムを含む

1	IA	oxidation states in compounds: important, most important (for easier reading, arabic numerals are used instead of the correct roman ones)	electron configuration	atomic radius in pm (half the interatomic distance for the element; α -Fe in this example) covalent radius for single bonds in pm (after Pauling; radii for polar and multiple bonds are shorter)
1	IIA	atomic number name (IUPAC)	26 Fe Iron	ionic radius in pm with oxidation number coordination number (Cr, Mn, Fe, Co: values for high-spin complexes)
2	IIA	element essential to all biological species investigated	van der Waals radius in pm	13 IIIA 14 IVA 15 VA 16 VIA 17 VIIA
2	IIA	essential to at least one biological species	reduction potential E° in V with number (n) of electrons for:	15 16 17
3	IIA	biological function suggested	$E^\circ_{\text{en+}}$ + $n\text{e}^-$ $\rightleftharpoons \text{E(s)}$ (metals)	He
3	IIA	essential to humans	$E^\circ_{\text{e+}}$ + $n\text{e}^-$ $\rightleftharpoons \text{E}^\circ$	1 He
3	IIA	suggested to be essential to humans	EO_{ox2} + $n\text{H}^+$ + $n\text{e}^-$ $\rightleftharpoons \text{E(s)} + n/2 \text{H}_2\text{O}$	14 Ne
4	IIIIB	abundance (mass fraction in %) of the element in the earth's lithosphere (upper 16 km) plus hydrosphere (oceans) plus atmosphere; mass fraction calculated from natural radioactive series or other natural nuclear reactions	$1/2 \text{O}_2(\text{g})$ + 2H^+ + 2e^- $\rightleftharpoons \text{H}_2\text{O}(\text{l})$	15 B 16 C 17 N 18 O 19 F 20 Ne
4	IVB			16 S 17 Cl 18 Ar
4	VB			17 P 18 Si 19 S 20 Ge 21 As 22 Br 23 Se 24 Kr
4	VIIB			18 Ar
4	VIIIB			
5	IIIIB	3 4 5 6 7 8 9 10 11 12 13 14 15 16 17 18 19 20 21 22 23 24 25 26 27 28 29 30 31 32 33 34 35 36 37 38 39 40 41 42 43 44 45 46 47 48 49 50 51 52 53 54	3 4 5 6 7 8 9 10 11 12 13 14 15 16 17 18 19 20 21 22 23 24 25 26 27 28 29 30 31 32 33 34 35 36 37 38 39 40 41 42 43 44 45 46 47 48 49 50 51 52 53 54	1 He 2 He 3 He 4 He 5 He 6 He 7 He 8 He 9 He 10 He 11 He 12 He 13 He 14 He 15 He 16 He 17 He 18 He 19 He 20 He 21 He 22 He 23 He 24 He 25 He 26 He 27 He 28 He 29 He 30 He 31 He 32 He 33 He 34 He 35 He 36 He 37 He 38 He 39 He 40 He 41 He 42 He 43 He 44 He 45 He 46 He 47 He 48 He 49 He 50 He 51 He 52 He 53 He 54 He
5	IVB			
5	VB			
5	VIIB			
5	VIIIB			
6	IIIIB	57 to 71	57 to 71	1 He 2 He 3 He 4 He 5 He 6 He 7 He 8 He 9 He 10 He 11 He 12 He 13 He 14 He 15 He 16 He 17 He 18 He 19 He 20 He 21 He 22 He 23 He 24 He 25 He 26 He 27 He 28 He 29 He 30 He 31 He 32 He 33 He 34 He 35 He 36 He 37 He 38 He 39 He 40 He 41 He 42 He 43 He 44 He 45 He 46 He 47 He 48 He 49 He 50 He 51 He 52 He 53 He 54 He
6	IVB			
6	VB			
6	VIIB			
6	VIIIB			
7	IIIIB	89 to 103	89 to 103	1 He 2 He 3 He 4 He 5 He 6 He 7 He 8 He 9 He 10 He 11 He 12 He 13 He 14 He 15 He 16 He 17 He 18 He 19 He 20 He 21 He 22 He 23 He 24 He 25 He 26 He 27 He 28 He 29 He 30 He 31 He 32 He 33 He 34 He 35 He 36 He 37 He 38 He 39 He 40 He 41 He 42 He 43 He 44 He 45 He 46 He 47 He 48 He 49 He 50 He 51 He 52 He 53 He 54 He
7	IVB			
7	VB			
7	VIIB			
7	VIIIB			

^a provisional IUPAC symbol

6	La	Sm	Eu	Gd	Tb	Dy	Ho	Er	Tm	Yb	Lu
7	Ce	Pr	Nd	Pm	Eu	Gd	Tb	Dy	Ho	Er	Lu
7	Pr	Nd	Pm	Sm	Eu	Gd	Tb	Dy	Ho	Er	Lu
7	Nd	Pm	Sm	Eu	Gd	Tb	Dy	Ho	Er	Yb	Lu
7	Pm	Sm	Eu	Gd	Tb	Dy	Ho	Er	Tm	Yb	Lu

レアアース(希土類元素)

サマリウム



WILEY-
VCH

ISBN 978-3-527-31856-8



9 783527 318568

表 25.4 希土類の地殻存在量(大陸地殻)および金属価格

原子番号	元素記号	元素名	大陸地殻(ppm)	純度(%)	価格(\$/kg)
57	La	ランタン	16	100	30
58	Ce	セリウム	33	96	40
59	Pr	プラセオジム	4	96	50
60	Nd	ネオジム	16	95	45
62	Sm	サマリウム	4	100	250
63	Eu	ユーピウム	1	100	1,000
64	Gd	ガドリニウム	3	100	140
65	Tb	テルビウム	1	100	800
66	Dy	ジスプロシウム	4	99	150
67	Ho	ホルミウム	1	100	650
68	Er	エルビウム	2	96	160
69	Tm	ツリウム	0	100	2,500
70	Yb	イッテルビウム	2	99	400
71	Lu	ルテチウム	0	100	3,500
39	Y	イットリウム	20	100	50
21	Sc	スカンジウム	30	100	NA

出典:USGS, "Minerals Yearbook".

レアアース（希土類元素）の使用量、大幅削減に成功

従来の鉄系超伝導物質

超伝導へ移行する温度



セ氏零下217度 (55 ケルビン)

サマリウム

鉄 ヒ素 酸素 フッ素

新たに開発した鉄系超伝導物質



カルシウム ランタン 鉄 ヒ素 リン

セ氏零下229度 (45 ケルビン)

安価でありふれた元素（カルシウムと鉄）が主成分

電気式冷凍機で冷却可

鉄系実用化へ前進



SUBJECT AREAS:
PHYSICS

MATERIALS SCIENCE
CONDENSED-MATTER PHYSICS
SUPERCONDUCTING PROPERTIES
AND MATERIALS

Received
20 October 2012

Accepted
4 March 2013

Published
18 March 2013

Emergence of superconductivity at 45 K by lanthanum and phosphorus co-doping of CaFe_2As_2

Kazutaka Kudo, Keita Iba, Masaya Takasuga, Yutaka Kitahama, Jun-ichi Matsumura, Masataka Danura,
Yoshio Nogami & Minoru Nohara

Department of Physics, Okayama University, Okayama 700-8530, Japan.

Co-doping of lanthanum and phosphorus in CaFe_2As_2 induces superconductivity at 45 K. This superconducting transition temperature is higher than the 38 K transition in $\text{Ba}_{1-x}\text{K}_x\text{Fe}_2\text{As}_2$, which is the maximum found thus far among the 122 phases. Superconductivity with a substantial shielding volume fraction was observed at $0.12 \leq x \leq 0.18$ and $y = 0.06$ in $\text{Ca}_{1-x}\text{La}_x\text{Fe}_2(\text{As}_{1-y}\text{P}_y)_2$. The superconducting phase of the present system seems to be not adjacent to an antiferromagnetic phase.

英国 Nature Publishing Group の電子ジャーナル Scientific Reports 誌に掲載（3月18日）

鉄系基本物質 122型の超伝導転移温度の記録を5年ぶりに更新

今後の展開



兵庫県にある大型放射光施設 SPring-8 で原子配列を精密に決める実験（5月）
理論的な解析により

高い温度で超伝導に移行する条件の解明

レアアースを全く使わずに超伝導に移行する条件の解明